

Original Research Article

Analyzing the Temporal-Spatial Changes of the Land Surface Temperature with MODIS Data: A Case Study of the Daranjin Desert

Ahmad Mazidi^{1*}, Fatemeh Karbakhsh Ravari², Mohsen Ebrahimi Khusfi³, Kamal Omidvar⁴

¹ Associate professor of climatology, Department of Geography, Yazd University, Yazd, Iran

² PhD student of climatology, Yazd University, Yazd, Iran

³ Assistant professor, Remote Sensing and GIS, Yazd University, Yazd, Iran

⁴ Professor of climatology, Yazd University, Yazd, Iran



10.22034/grd.2025.21582.1617

Received:

April 5, 2024

Accepted:

January 6, 2025

Keywords:

Land surface temperature, Trend, Man-Kendal, MODIS, Daranjin desert

Abstract

Land surface temperature is one of the important parameters for understanding the spatial changes and processes of the earth's surface, which helps to correctly assess the environmental situation on local to global scales. The MODIS provides the researchers with the continuous Land surface temperature on a global scale and with the power of spatial resolution. In this research, to investigate the surface temperature trend of the Daranjin desert, first, the daily data of land surface temperature in the catchment area of the desert in the period of 1/1/2003 to 12/30/2022 with a spatial resolution of 1000 meters were extracted from the NASA website. After the necessary processes, the long-term seasonal and annual trend of the surface temperature of the desert was calculated using the non-parametric Mann-Kendall test. The results of the land surface temperature trends on a seasonal scale showed that the winters of the Daranjin desert became hotter than in the past; on the contrary, its summers became cooler. This is true in a large part of the desert and is a sign of climate change and global warming. Also, the results on an annual scale showed that, in the bed of Siriz and Rafsanjan rivers and at Lalehzar heights, the land surface temperature trend is increasing. In the dams built in the south of Kerman, Rafsanjan, and Chaleh Bafq hole, the land surface temperature trend is decreasing. Since the rising trend of the surface temperature in the rivers and highlands indicates the reduction of water and snow cover in these areas, this issue can challenge the life and water resources of these areas that are dependent on the water artery and snow accumulation.



Extended Abstract

1. Introduction

Land surface temperature is one of the key parameters in the study of climate change, which helps to correctly assess the environmental situation on local to global scales. Investigating the trend of land surface temperature and its long-term changes is necessary to evaluate climate processes in arid and semi-arid regions. Also, based on the results obtained by Bhumralkar (1975), observations of the land surface temperature at midday, when its values reach a maximum, provide more information about the distribution of energy among turbulent heat rays, which is due to the key role of the maximum surface temperature in describing the cycle. It happens daily. The actual distribution of the land surface temperature is attributed to its magnitude, daily range and its relationship with the sun's radiation and the soil's thermal radiation. Wen et al. (2003) showed that, in the central regions of Tibet, the land surface temperature in mountainous areas and water bodies is minimal, and the surface temperature in river basins is maximal compared to mountainous areas. The research of Zhong et al. (2011) in the Tibetan Plateau indicates an increase in air temperature and surface temperature between 1982 and 2000. Also, their findings show the seasonal cycles of the increase in the land surface temperature, the air temperature, and NDVI before and at the same time as the monsoon, and then their decrease after the monsoon. Pal and Zial (2017) evaluated the land surface temperature in the time periods of 1991, 2010 and 2014 in the city of Malda in West Bengal. The results indicate an increase in the surface temperature values to 0.070 and 0.114 degrees Celsius throughout the year and in the summer and winter periods, respectively, and the construction area has the highest surface temperature values. The correlation coefficient between the factors reveals the control of the surface temperature by the impervious surface of the earth ($R = 0.62$) and water bodies and vegetation. Amir Siddique et al. (2021) investigated the spatio-temporal consequences of urbanization on the urban heat island of Beijing using remote sensing and evaluated the changes in land surface cover and land surface temperature. For this purpose, they used the 30-meter data of Landsat 5 and 8 in the months of July and the single-channel algorithm. Then, using the CA-Markov test, they estimated the changes in the land surface cover and temperature during the period from 2019 to 2050. The results showed that changes in urban density have caused the loss of vegetation up to 11% and that the earth's surface will increase between 5.74 and 9.66 degrees Celsius. Espinoza-Molina et al. (2022) used Landsat 5 and 8 Collection 1 data during the period 1985-2020 in the Google Earth Engine environment. As they showed, with the change of land use and vegetation in Tekana region, the land surface temperature reached about 44 degrees. Based on the results, in areas with vegetation, the temperature remained in the range of 24 degrees. Their results indicate that changes in the shape and urban development have caused the growth of the urban heat island. In a research, Tali et al. (2023) investigated the relationship between land use/land cover and land surface temperature in the Himalayan region. According to the results, in the Himalayan region, the surface temperature decreases from north to south and from south to east, while it increases in the directions from north to east and south to west. Also, the correlation coefficient between land surface temperature and altitude is found to be negative. In addition to these, in measuring the relationship between ground surface temperature and types of land use, the highest land surface temperature was found in construction land use and barren land with values of 35.76 and 28.08 degrees Celsius, respectively. Also, the average temperature difference between the sun and the shade was about 1 degree Celsius.

2. Research Methodology

The MODIS probe was successfully launched by NASA on December 18, 1999. This sensor is installed on the two satellites Terra and Aqua. These satellites take pictures of the entire surface of the earth twice a day and collect the data in 36 spectral bands (wavelengths of 0.4-14.4 micrometers) with a resolution of 250, 500 and 1000 meters. In this research, the daily data of the MYD11A1 product with a spatial resolution of 1000 meters were extracted from the NASA website for 7305 days from 1/1/2003 to 12/30/2023. By choosing this product

and the Aqua satellite, due to the convenient time of its passage over the region, a more detailed investigation of the surface temperature of the Daranjin desert basin was carried out. Since Terra's Khurshid Song satellite passes over Iran at 10:30 am and 10:30 pm, it cannot provide an accurate picture of the energy balance. For this reason, Aqua satellite monitors Iran at 1:30 pm and 1:30 pm. The main reason for this choice is the high energy balance in the middle of the day and the middle of the night. Since the statistical period of Terra is longer than that of Aqua, this satellite have to be chosen for Al-Qaeda, but Aqua satellite data are used more for the reasons described (Wan, 2013).

3. Results and discussion

Examining the long-term surface temperature trend of the Daranjin desert during the last two decades shows that, in a large part of the desert (about 72%), the ground surface temperature trend has been positive (increasing). This trend of increasing temperature can be clearly seen especially in the bed of the Shore Siriz River and the Shore Rafsanjan River. It seems that the increased values of these areas are due to their drying and, as a result, a sharp decrease in surface humidity in the long term. Also, the Lale-Zar Mountains are among the areas that have shown a positive trend in surface temperature in the last two decades. This positive trend happens mostly in the cold seasons of the year (autumn and winter); therefore, one of the main reasons can be the reduction of snow cover in the last two decades (Keykhsravi Kiani & Masoudian, 2016). On the other hand, the presence of the dams built in the south of Kerman, Rafsanjan and Chaleh Bafq and their waterlogging in recent years shows the negative trend (decrease) of the surface temperature in these areas. These areas cover about 25% of the basin area. The rest of the surface of the Daranjin desert, which includes about 3% of the area of the basin, does not show any trend.

4. Conclusion

The results of the long-term seasonal trend showed that, in winter, a large part of the Daranjin desert (about 95% of the area) has an increasing trend of surface temperature. This increase seems to be due to the decrease in rainfall, snow and vegetation in recent years. In summer, the situation is different. In this season, about 70% of the area of the Daranjin desert has a negative (decreasing) surface temperature trend, and about 30% of its area has a positive (increasing) trend. It seems that the positive trend in the axis of Kerman-Zarand and Rafsanjan-Anar is caused by the drying of the Shor Siriz River and the Shor Rafsanjan River during the last two decades. This seems natural because, with the drying of the river and the decrease in the humidity of the river bed, its surface temperature has increased drastically. In the autumn season, due to the recent droughts, in addition to the above-mentioned axes, Chaleh Bafq also endures an increasing trend in surface temperature. The research conducted on the surface temperature of Iran is consistent with this idea (Moradi et al., 2015; Karbalaei et al., 2014; Abad et al., 2015). The results of the long-term annual trend showed that, during the last two decades, the temperature of the ground surface has been increasing in 75% of the area of the Daranjin desert basin. Due to the drying of the rivers and the consequent decrease of their surface moisture, part of this increasing trend can be seen in the bed of the Shor Siriz and Shor Rafsanjan rivers. Another part of this increasing trend is on the heights of Lale-Zar. One of the main reasons for the increasing trend of surface temperature in this region may be the decrease of snow cover during the last two decades (Keikhosravi-Kiani & Masoodian, 2016; Kefayat Mutlagh et al., 2024). Further investigations showed that the dams built in the south of Kerman, Rafsanjan and Chaleh Bafq and their waterlogging in recent years account for the negative trend (decrease) of the surface temperature in these areas (Azizi et al., 2016; Keihosravi Kayani & Masoodian, 1400).

مقاله پژوهشی

واکاوی روند تغییرات زمانی-مکانی دمای سطح کویر درانجیر

احمد مزیدی^{۱*}، فاطمه کاربخش راوری^۲، محسن ابراهیمی خوسفی^۳، کمال امیدوار^۴^۱ دانشیار گروه جغرافیای طبیعی، دانشگاه یزد، یزد، ایران.^۲ دانشجوی دکتری آب و هواشناسی، گروه جغرافیای طبیعی، دانشگاه یزد، یزد، ایران.^۳ استادیار گروه جغرافیای طبیعی، دانشگاه یزد، یزد، ایران.^۴ استاد گروه جغرافیای طبیعی، دانشگاه یزد، یزد، ایران.

10.22034/grd.2025.21582.1617

چکیده

دمای سطح زمین یکی از پارامترهای مهم برای درک تغییرات فضایی و فرآیندهای سطح زمین است که به ارزیابی مناسبتری از وضعیت محیطی در مقیاس‌های محلی تا جهانی کمک می‌کند. سنجنده مودیس ماهواره آکوا دمای سطح زمین را به صورت میانگین روزانه در مقیاسی جهانی و با قدرت تفکیک مکانی مناسب تولید و در اختیار محققان قرار می‌دهد. در این پژوهش بررسی روند دمای سطح کویر درانجیر، ابتدا داده‌های روزانه دمای سطح زمین در محدوده حوضه آبریز کویر درانجیر در بازه زمانی ۱۰۰/۱۱/۱ تا ۲۰۰/۱۲/۳۰ با تفکیک مکانی ۱۰۰۰ متری از وبگاه ناسا اخذ شد. پس از اعمال تصحیحات اتمسفری و هندسی بر روی داده‌ها، روند بلندمدت فصلی و سالانه دمای سطح کویر درانجیر به کمک آزمون ناپارامتریک من-کندال محاسبه شد. نتایج روند دمای سطح زمین در مقیاس فصلی نشان داد که در فصل زمستان‌های کویر درانجیر نسبت به گذشته گرمتر و برعکس تابستان‌های آن خنکتر شده است؛ بنابراین کویر درانجیر در طول سال نوسانات دمایی قابل توجهی را تجربه می‌کند به صورتی که در زمستان دمای سطح زمین در بیشتر قسمت‌های کویر (حدود ۹۵ درصد) افزایش و در فصل تابستان شرایط پیچیده‌تر می‌شود. به صورتی که طی این فصل حدود ۷۰ درصد کویر کاهش دما داشته است و حدود ۳۰ درصد افزایش دما را نشان می‌دهد. به طور کلی کویر درانجیر در فصل‌های مختلف و در بلندمدت تغییرات دمایی متفاوتی را تجربه می‌کند که دلایل این تغییرات می‌تواند عوامل مختلفی مانند تغییرات آب و هوایی، فعالیت‌های انسانی و ویژگی‌های خاص کویر باشد. این موضوع در بخش وسیعی از این کویر دیده می‌شود. همچنین نتایج در مقیاس سالانه نشان داد که در بستر رودخانه‌های سیریز و رفسنجان و ارتفاعات لاله‌زار روند دمای سطح زمین افزایشی و در سدهای احداث شده در جنوب کرمان و رفسنجان و چاله بافق روند دمای سطح زمین کاهشی است. ازانجایی که روند افزایشی دمای سطح در رودخانه‌ها و ارتفاعات نشان‌دهنده کاهش پوشش آبی و برفی این نواحی است، این موضوع می‌تواند حیات و منابع آب این نواحی را که متکی به شریان آبی و انباست برف بوده با چالش رویو کند.

تاریخ دریافت:

۱۴۰۳ فروردین ۱۷

تاریخ پذیرش:

۱۴۰۳ دی ۱۷

کلیدواژه‌ها:

دمای سطح زمین،
تغییر اقلیم،
گرمایش جهانی،
کویر درانجیر،

۱ مقدمه

دمای سطح زمین یکی از پارامترهای کلیدی در بررسی تغییرات اقلیمی است که به ارزیابی واقعی از وضعیت محیطی در مقیاس‌های محلی تا جهانی کمک می‌کند.

Email: mazidi@yazd.ac.ir

*نویسنده مسئول: احمد مزیدی

آدرس: گروه جغرافیای طبیعی، دانشگاه یزد.

بررسی روند دمای سطح زمین و تغییرات بلندمدت آن برای ارزیابی فرآیندهای آب و هوایی در مناطق خشک و نیمه خشک ضروری است. همچنین بر اساس نتایج پژوهشگران، مشاهدات دمای سطح زمین در هنگام نیمروز که مقادیر آن به بیشینه می‌رسد اطلاعات بیشتری در مورد تقسیم‌بندی انرژی در بین اشعه‌های گرمایی متلاطم دارد که این رویداد به دلیل نقش کلیدی بیشینه دمای سطح در توصیف چرخه روزانه آن رخ می‌دهد. توزیع واقعی دمای سطح زمین به بزرگی، دامنه روزانه و رابطه آن با تابش خورشید و اشعه گرمایی خاک نسبت داده می‌شود (بومرلکار^۱، ۱۹۷۵). شوکلا و همکاران^۲ (۱۹۹۰) در پژوهشی نشان دادند که با جایگزینی علفزارها به جای جنگلهای حاره‌ای افزایش معناداری در دمای سطح و کاهش در بارندگی و تبخیر و تعرق مشاهده می‌شود. همچنین طول دوره خشک هم روندی افزایشی را نشان می‌دهد؛ ون و همکاران^۳ (۲۰۰۳) در پژوهشی نشان دادند که در نواحی مرکزی تبت، رخداد دمای سطح زمین در نواحی کوهستانی و توده‌های آبی کمینه و رخداد دمای سطح در حوضه رودخانه‌ای در مقایسه با نواحی کوهستانی بیشینه است. کین و همکاران^۴ (۲۰۰۹) با استفاده از داده‌های دمای سطح زمین و ارتفاع از سطح دریا سنجنده مودیس نشان دادند که روند گرمایش زمین در فلات تبت از ارتفاع ۳۰۰۰ تا ۴۸۰۰ متری افزایشی و سپس پایدار تا کاهش جزئی است. این وابستگی ارتفاعی نرخ گرمایش یک مفهوم قابل توجهی برای منابع آبی و تغییرات محیطی فلات تبت است؛ از آن جهت که بیشتر سطوح برفی و بیچال‌ها در این فلات در ارتفاعات بالای ۵۰۰۰ متری از سطح دریا واقع شده‌اند. نتایج پژوهش ژونگ و همکاران^۵ (۲۰۱۱) در فلات تبت بیان گر افزایش دمای هوا و دمای سطح زمین در بازه زمانی ۱۹۸۲ تا ۲۰۰۰ است. همچنین یافته‌های آنان چرخه‌های فصلی از افزایش دمای سطح زمین، دمای هوا و شاخص تفاوت بهنجار شده پوشش گیاهی در پیش از موسمون و همزمان با آن و سپس کاهش آن‌ها پس از موسمون را نشان می‌دهد. پال و زیائول^۶ (۲۰۱۷) به ارزیابی دمای سطح زمین در بازه‌های زمانی ۱۹۹۱، ۲۰۱۰ و ۲۰۱۴ در شهر مالدا^۷ در غرب بنگال پرداختند. نتایج حاکی از افزایش مقادیر دمای سطح به مقدار ۰/۰۷ و ۱۱۴ درجه سلسیوس به ترتیب در طول سال و در دوره‌های تابستان و زمستان است و ناحیه ساختمانی هم بالاترین مقادیر دمای سطح را دارا است. ضریب همبستگی بین عوامل، آشکارکننده کنترل دمای سطح توسط سطح نفوذناپذیر زمین ($R = 0/62$) و توده‌های آبی و پوشش گیاهی است. الفتریو و همکاران^۸ (۲۰۱۸) در پژوهشی نشان داد که روندهای دمای روزه‌نگام سطح زمین در یونان برای بیشتر نواحی دامنه کاهشی از $1/3$ تا ۱ درجه سلسیوس و در بعضی بخش‌ها افزایشی جزئی دارد. در حالی که روندهای دمای شب‌هنجام سطح زمین در همه نواحی دارای دامنه افزایشی از $4/6$ تا $3/1$ درجه سلسیوس است و بیشینه مقادیر در بخش‌های جنوبی-شرقی کشور قرار دارد. همچنین یک نتیجه جالب، افزایش مقادیر دمای سطح زمین در زمستان در هر دو زمان روزه‌نگام و شب‌هنجام است که نشان گر افزایش کمینه مطلق دمای سطح زمین در طول زمستان در کشور یونان است. کورچان و همکاران^۹ (۲۰۱۸) به بررسی روند دمای سطح زمین در بازه زمانی ۱۹۸۲-۲۰۱۴ در شبه‌جزیره اسپانیا پرداختند. نتایج ایشان نشان گر افزایش معنی‌دار (۰/۷۰ درجه سلسیوس) نسبت به دهه قبل و همچنین افزایش شدیدتری در تابستان (۰/۵۳) دارند.

¹ Bhumralkar² Shukla et al³ Wen et al⁴ Qin et al⁵ Zhong et al⁶ Pal & Zial⁷ Malda⁸ Eleftheriou et al⁹ Khorchan et al

سلسیوس نسبت به دهه قبل) است. نتایج زولو و همکاران^۱ (۲۰۱۹) در دره پو^۲ ایتالیا نیز حاکی از کاهش دامنه دمای سطح زمین همراه با افزایش نواحی شهری است؛ به طوری که با افزایش پراکنش شهری یکروند صعودی در دمای کمینه دیده می‌شود. بالو و کورمه^۳ (۲۰۲۰) با استفاده از تصاویر ماهواره‌ای لندست ۸-۷-۵ به پایش دمای سطح زمین در شهر بھیردار^۴ پرداختند. نتایج تجزیه و تحلیل گردیان آنها در مناطق شهری و حومه طی دوره ۲۰۱۷-۱۹۸۷ نشان داد که شدت جزیره حرارتی در مناطق شهری تا سال ۲۰۰۲ به سرعت گسترش یافته است. میانگین دمای سال ۱۹۸۷ حدود ۳۴,۵ درجه سلسیوس بوده است. این مقدار در سال ۲۰۰۲ به ۳۷,۵ درجه سلسیوس رسیده است و در سال ۲۰۱۷ به ۳۵,۵ درجه سلسیوس کاهش یافته است. علت این کاهش را می‌توان افزایش پهنه آبی و مناطق کشاورزی همچنین کاهش سطح سنگفرش دانست. ایسپینوزا مولینا و همکاران^۵ (۲۰۲۲) در پژوهشی با استفاده از داده‌های لندست ۵ و ۸ کالکشن ۱ طی دوره ۱۹۸۵-۲۰۲۰ در محیط گوگل ارت انجین نشان دادند که با تغییر کاربری و پوشش گیاهی در منطقه تکانا دمای سطح زمین تا حدود ۴۴ درجه رسیده است. نتایج نشان داد که در مناطق با پوشش گیاهی، دما در محدوده ۲۴ درجه باقی‌مانده است. نتایج آن‌ها بیانگر آن است که تغییرات در شکل و توسعه شهری باعث رشد جزیره حرارتی درون شهری شده است. پاندی و همکاران (۲۰۲۲) در یک مطالعه بر روی ارزیابی روند گرمایش جهانی و روند دمای سطح زمین (LST) در هند مشخص کردند که روند نزولی دما (LSTmin-LSTmax) در فصول زمستانی و روند افزایشی در فصل تابستان ایجاد شده است. بر اساس پژوهش ژی و همکاران^۶ (۲۰۲۳) میانگین دمای سطح زمین در کوه‌های کیلینگ دابا در منطقه چین مرکزی طی دوره ۲۰۰۰-۲۰۲۰ حدود ۱۸/۲ درجه سلسیوس برآورد شده است. همچنین ضمن آشکار شدن گرمایش در منطقه موردمطالعه، میزان آن در شب‌هنگام قوی‌تر از روزه‌نگام بیان شده و متعاقب آن تفاوت بین دمای شب و روز نیز در حال کاهش است. علاوه بر این در منطقه کوه‌های کیلینگ دابا، عامل ارتفاع به عنوان مهم‌ترین عامل در توزیع فضایی دمای سطح زمین بود که میزان تأثیرگذاری متغیر مذکور در دمای روزه‌نگام و شب‌هنگام به ترتیب ۶۳ و ۹۲ درصد مشخص شده است. شکیبا و همکاران (۲۰۲۴) در مطالعه دمای سطحی شب‌انه روزی حوضه‌های آبخیز ایران در دوره ۲۰۰۱ تا ۲۰۲۲ با داده مودیس به این نتیجه رسیدند که در طول روز، ۱,۵ درصد از مساحت ایران دارای دمای زیر صفر درجه سانتی‌گراد، ۲۱ درصد دارای LST بین ۰ تا ۲۰ درجه و ۳۷ درصد بالای ۴۰ درجه سانتی‌گراد قرار دارد. همچنین این مطالعه افزایش قابل توجهی را در LST در طول فصل تابستان نشان داد بعلاوه روند مثبت معنی‌داری را در ۱۰ حوضه در دمای روز و روند مثبت معنی‌دار در ۶ حوضه در دمای شب نشان داد.

در ایران نیز پژوهش‌های زیادی بر روی دمای سطح زمین در مقیاس خرد و کلان انجام شده است. در ادامه به برخی از آن‌ها اشاره می‌شود. قزلباش و مؤمنی شهرکی (۱۳۹۱) در پژوهشی برای ارزیابی تغییرات دمای سطح زمین و پدیده جزیره گرمایی در بازه زمانی ۲۰۰۰ تا ۲۰۱۱ با استفاده از سنجنده مودیس در تعدادی از شهرهای ایران ۱۴ شهر مختلف) به این نتیجه رسیدند که دمای سطح زمین برای بازه زمانی موردمطالعه در محدوده‌های شهری، الزاماً با افزایش روبرو نبوده است و حتی در مواردی روندی کاهش داشته است. پدیده جزیره گرمایی در شب رخ می‌دهد و روز و شب در بیش‌تر این شهرها به سمت همدمایی پیش می‌روند. همچنین اختلاف دمای

¹ Zullo et al² Po Valley³ Balew & Korme⁴ Bahir Dar⁵ Espinoza-Molina et al⁶ Xi et al

بین این شهرها با حومه آن‌ها در حال کاهش است. در پژوهشی دیگر صلاحی و همکاران (۱۳۹۵) با استفاده از داده‌های دو ماهواره ترا و آکوا، شبیب دمایی سطح زمین در ایران را بررسی کردند. بر اساس یافته‌های ایشان، تغییرات زمانی-مکانی چشم‌گیری در شبیب دمایی سطح زمین ایران دیده می‌شود؛ این تغییرات از شرایط محیطی و تغییرات دریافت تابش خورشیدی اثر می‌پذیرد. اثر ناهمواری‌ها و پهنه‌های آبی در کاهش شبیب دمایی سطح زمین به خوبی دیده می‌شود. در مقابل، پستی‌ها و مناطق بیابانی، به سبب خشکی خاک، شبیب‌های دمایی مثبت و بیشتر را تجربه می‌کنند. در ماه‌های مختلف سال شبیب‌های دمایی صفر تا +۱ درجه و +۱ تا +۲ درجه کلوین بر ساعت گستره بیشتری از ایران را پوشش می‌دهند؛ با این حال در دوره سرد سال شبیب‌های صفر تا -۱ درجه کلوین بر ساعت، به‌ویژه بر بلندی‌های البرز و زاگرس گسترش می‌یابند. مسعودیان و کیخسروی کیانی (۱۳۹۶) با استفاده از داده‌های ماهواره‌ای نقش دمای سطح زمین در پراکنش پوشش برف ایران را مورد واکاوی قرار دادند. آنان ابتدا داده‌های دمای سطح زمین را از سنجنده مودیس ماهواره ترا از تارنمای ناسا برای بازه زمانی ۱۳۸۲-۱۳۹۳ در تفکیک مکانی 1×1 کیلومتری دریافت کردند. سپس برای بررسی پوشش برف کشور نیز از داده‌های سنجنده مودیس ترا و مودیس آکوا برای بازه‌های زمانی ۱۳۸۲-۱۳۹۳ در تفکیک مکانی 500×500 بهره گرفتند. یافته‌های ایشان نشان داد مناطقی که میانگین سالانه دمای سطح آن‌ها کمتر از 3° درجه سلسیوس است، برای نشست پوشش برف به‌طور نسبی مهیا هستند و از ارتفاع ۱۷۰۰ متر به بالا دمای سطح زمین در ایران به کمتر از 3° درجه سلسیوس می‌رسد. واکاوی پیوند میان شمار روزهای برف‌پوشان با میانگین دمای سطح زمین آشکار ساخت، میانگین دمای سطح زمین در مناطقی از ایران که به‌طور میانگین هیچ‌گونه پوشش برفی ندارد 3° درجه سلسیوس است و بیشترین شمار روزهای برف‌پوشان در مناطقی است که میانگین سالانه دمای سطح آن‌ها صفر درجه سلسیوس است. احمدی و همکاران (۱۳۹۷) در پژوهشی به مطالعه دمای شب‌هنگام سطح ایران در بازه زمانی ۲۰۰۱ تا ۲۰۱۵ پرداختند. یافته‌ها حاکی از رخداد کمینه دمای سطح در ماه‌های سپتامبر تا فوریه و منطبق بر الگوی ارتفاعات و ناهمواری‌ها، به‌ویژه نیمه غربی، شمالی و شمال غرب و شمال خراسان است. همچنین مشخص شده ماه سپتامبر به عنوان ماه گذار از دوره گرم سال به دوره سرد سال و ماه مارس به عنوان ماه گذار از دوره سرد سال به دوره گرم است. کانون دماهای گرم شب‌هنگام سطح زمین نیز در ماه‌های مختلف سال و به‌ویژه از آوریل تا سپتامبر بر مناطق گرم‌سیری حکم‌فرمایی می‌کنند. آباد و همکاران (۱۴۰۰) با استفاده از داده‌های سنجنده مودیس دمای روزه‌نگام حوضه جازموریان را طی دوره ۲۰۱۹-۲۰۰۳ در حوضه آبریز جازموریان از 20° تا 55° درجه سلسیوس متغیر بوده و به روشنی ایشان نشان داد که مقادیر LST در حوضه آبریز جازموریان از 20° تا 55° درجه سلسیوس توزیع فضایی LST، فصول زمستان و تابستان را از ارتفاعات و عرض جغرافیایی تبعیت می‌نماید. واکاوی فصلی از توزیع فضایی LST، فصول زمستان و گرما ترین فصول به ترتیب با دامنه‌ای از 5° تا 40° درجه سلسیوس و 35° تا 65° درجه سلسیوس به عنوان سردترین و گرم‌ترین فصول نشان داده است. همچنین در بررسی توزیع فضایی LST ماهانه، ژانویه و فوریه از کمترین و ژوئن و جولای از بیشترین مقدار LST برخوردار بودند. روند سری زمانی آنومالی LST بیانگر افزایش حدود $0/5$ درجه سلسیوس در دوره موردمطالعه است. همچنین نتایج ایشان نشان داد که توزیع فضایی LST نشان‌دهنده بیشینه آنومالی مثبت در بخش‌های جنوب غربی و مرکزی و کمینه آنومالی مثبت در شرق حوضه است. مزیدی و همکاران (۱۴۰۲) در پژوهشی با استفاده از داده‌های لندهست ۵ و ۸ به تغییرات زمانی جزایر حرارتی شهر کرمان طی دوره ۲۰۰۷ تا ۲۰۲۲ پرداختند. نتایج نشان داد که در فصل تابستان و زمستان میزان دمای سطح زمین دارای روند صعودی بوده است اما جزیره حرارتی فقط در فصل تابستان رخداده است. به‌طوری‌که در تابستان سال ۲۰۰۹ تراکم دمای خیلی گرم کمتر از 30° درصد بوده است اما با گذشت زمان و در سال ۲۰۲۲ در فصل تابستان بیش از 60° درصد منطقه شهری دارای دمای خیلی گرم بوده است. همچنین قسمت‌هایی از غرب به سمت جنوب شهر به دلیل وجود زمینه‌ای بایر و همچنین به دلیل عدم بهره‌مندی از سازوکارهای خنک‌کنندگی تبخیر و تعرق، دارا بودن ظرفیت بالای جذب گرما در کنار ظرفیت هدایتی پایین، هسته اصلی جزایر حرارتی را تشکیل داده‌اند. آزمون

آماری من-کندا نیز حاکی از روند صعودی دما به خصوص در سال‌های اخیر است؛ میزان این افزایش دما در یک دوره ۲۵ ساله حدود ۱/۵ درجه سلسیوس بوده است. در یک مطالعه منصور مقدم و همکاران (۱۴۰۳) اثر خشکی زاینده‌رود بر تغییرات دمای سطح زمین و پوشش گیاهی را مورد ارزیابی قرار دادند. طبق نتایج به دست آمده در سال‌های خشک مقادیر NDVI و NDWI میل به مقادیر مثبت کوچک و در سال‌های ترسالی میل به مقادیر منفی کوچک‌تر داشتند. همچنین سال‌های خشک دارای LST بیشتر بوده و مساحت بیشتری از کلاس‌های گرم دمایی را به خود اختصاص داده بودند.

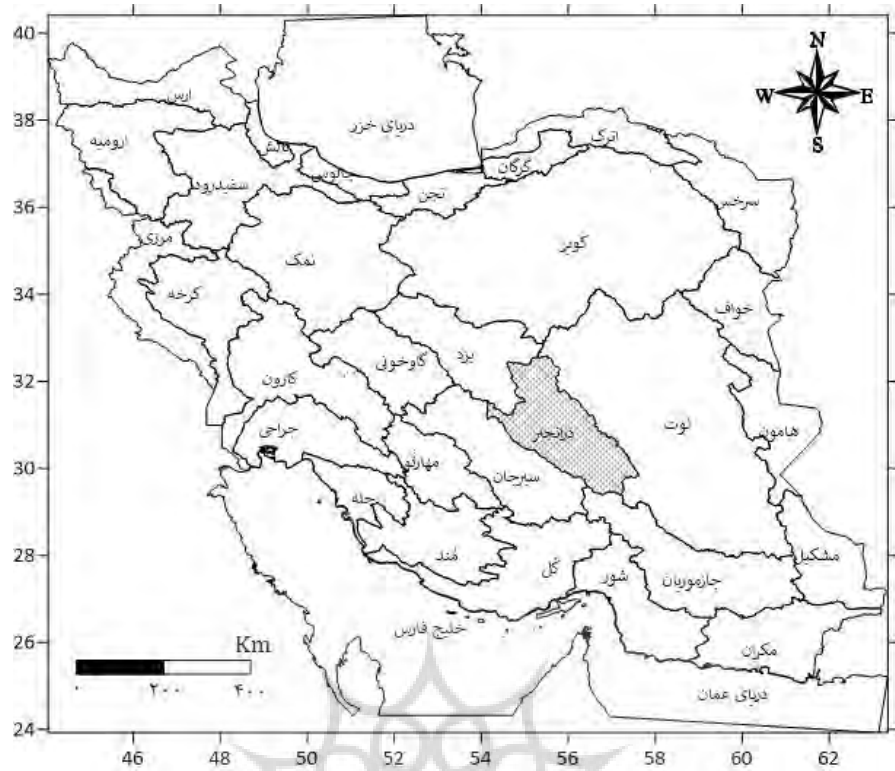
هدف اصلی این پژوهش، بررسی روند تغییرات زمانی-مکانی دمای سطح کویر درانجیر با تمرکز بر پارامتر کلیدی دمای سطح زمین (LST) که تغییر در نوسانات آن تأثیر قطعی بر روی فرایندهای انسانی و طبیعی در حوضه موردنظر دارد. نتایج این تحقیق می‌تواند در برنامه‌ریزی‌های کوتاه‌مدت و بلندمدت برای مقابله با چالش‌های ناشی از تغییرات اقلیمی، از جمله تشدید پدیده‌های آب و هوایی شدید مانند موج‌های گرما و سرما، تغییر در کاربری زمین کشاورزی مؤثر باشد. با توجه به نوع سنجنده مطالعه شده در اکثر تحقیقات گذشته و انجام مطالعات در دوره‌های کوتاه‌مدت؛ در تحقیق حاضر تا حد امکان سعی بر آن شد که این نقص اصلاح و مناسب‌ترین سنجنده با طول دوره مناسب برای حوضه موردنظر با توجه به داده‌های موجود در نظر گرفته شود.

۲ داده‌ها و روش‌ها

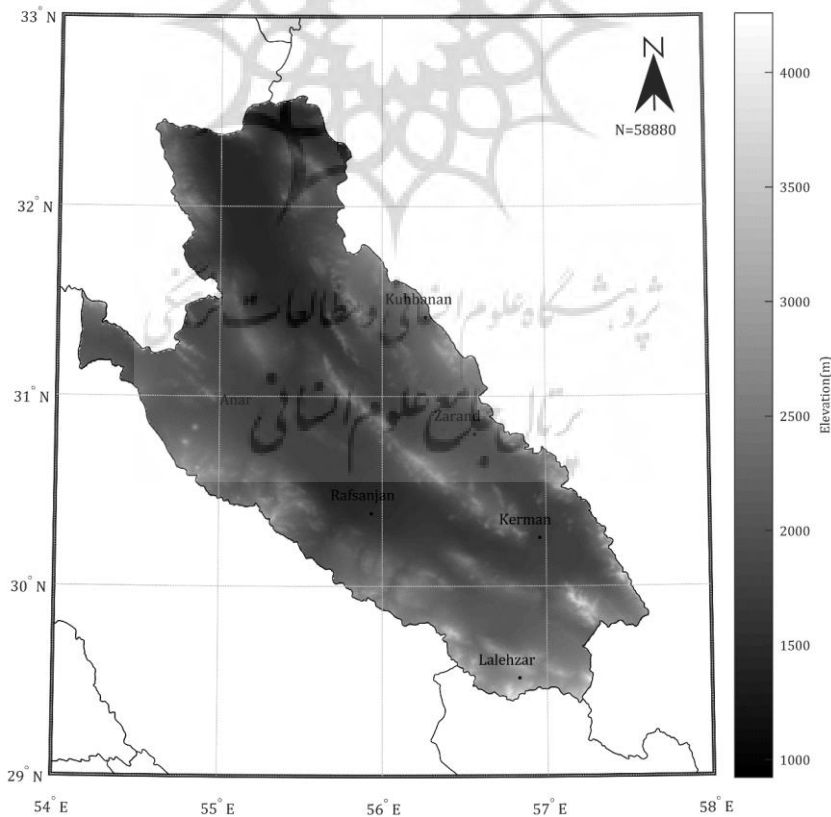
حوضه کویر در انجیر یکی از حوضه‌های بسته ایران است که در تقسیم‌بندی حوضه‌های آبریز ایران حوضه فرعی به شمار می‌رود و زیرمجموعه حوضه آبریز مرکزی است (شکل ۱). این حوضه در عرض جغرافیایی ۲۹ تا ۳۳ درجه شمالی و طول جغرافیایی ۵۴ تا ۵۸ درجه شرقی با مساحت ۵۸۵۰۸ کیلومترمربع به عنوان حوضه آبریز مناطق جنوب یزد و شمال کرمان شناخته می‌شود. این حوضه از جنوب به کوه‌های لاله‌زار و بیدخان و از شمال به کوه‌های راین و پلوار محدود می‌شود و دشت‌های کم شیب آن از جنوب شرق به شمال غربی امتداد یافته‌اند. رودهای اصلی این حوضه از کوه‌های کرمان سرچشمه می‌گیرند و به کویر درانجیر در غرب بافق می‌ریزند. با توجه به عدم پراکنش مناسب و کافی ایستگاه‌های هواشناسی زمینی در منطقه، استفاده از داده‌های ماهواره‌ای آسان‌ترین و کارآمدترین راه جهت هرگونه مطالعه محیطی است. از طرف دیگر به دلیل بکر بودن و عدم انجام هرگونه مطالعه روی این منطقه آشکارسازی تغییرات ضروری است. در دهه‌های اخیر گرمایش جهانی و خشک‌سالی‌های پیاپی باعث مشکلات زیست‌محیطی و دگرگونی عناصر آب و هوایی به‌ویژه وضعیت حرارتی سطح منطقه شده که نیازمند پژوهشی در این زمینه است.

از آنجایی که ارتفاع نقش چشمگیری بر روی دمای سطح زمین دارد، برای درک بهتر از شرایط محیطی حوضه موردمطالعه از داده‌های مدل رقومی ارتفاع برای منطقه موردمطالعه حاصل از وبسایت ناسا بهره گرفته شد (<https://search.earthdata.nasa.gov/search>). سیستم تصویر و تفکیک مکانی این داده‌ها منطبق بر داده‌های دمای سطح زمین، سینوسی^۱ و ۱۰۰۰ متر انتخاب شده است. در شکل ۲ مدل رقومی ارتفاع کویر درانجیر نشان داده شده است. بر اساس این داده‌ها کمترین ارتفاع در داده‌های مدل رقومی ۹۱۴ متر در چاله بافق واقع در شمال حوضه و بالاترین آن ۴۴۵۰ متر در ارتفاعات لاله‌زار واقع در جنوب حوضه مشاهده می‌شود. میانگین ارتفاع حوضه آبریز درانجیر ۱۹۱۹ متر است به همین دلیل از آن به عنوان کویر درانجیر نام برده می‌شود.

^۱ Sinusoidal Projection



شکل ۱. موقعیت جغرافیایی حوضه آبریز کویر درانجیر در ایران، منبع: نگارندگان



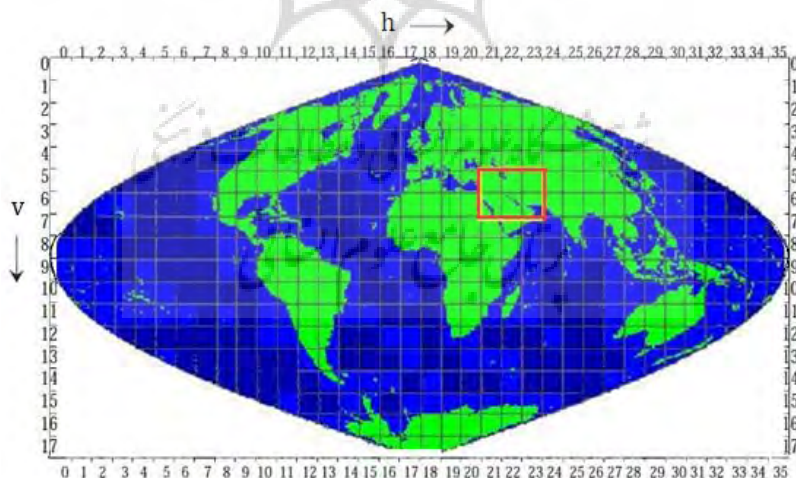
شکل ۲. مدل رقومی ارتفاع کویر درانجیر منبع: نگارندگان

۲،۱ دمای سطح زمین

سنجدنده مودیس در تاریخ ۱۸ دسامبر ۱۹۹۹ با موفقیت توسط سازمان ناسا به فضا پرتاب شد. این سنجنده بر روی دو ماهواره ترا^۱ و آکوا^۲ نصب شده است که هر روز دو بار و جمعاً چهار مرتبه از تمام سطح زمین تصویربرداری می‌کنند و داده‌هایی در ۳۶ باند طیفی (طول موج‌های ۰/۴-۱۴/۴ میکرومتر) با قدرت تفکیک ۵۰۰، ۲۵۰ و ۱۰۰۰ متری برداشت می‌کنند. در این پژوهش داده‌های روزانه محصول MYD11A1 با تفکیک مکانی ۱۰۰۰ متر در بازه زمانی ۰۰۰۳/۱/۱ تا ۲۰۲۲/۱۲/۳۰ میلادی به مدت ۷۳۰۵ روز از وبگاه ناسا استخراج شد. با انتخاب این محصول و ماهواره آکوا، به دلیل زمان مناسب عبور آن از روی منطقه به بررسی دقیق‌تر دمای سطح حوضه کویر درانجیر پرداخته شد. از آنجاکه ماهواره خورشید آهنگ ترا در ساعت ۱۵، ۳۰ صبح و ۲۲، ۳۰ شب‌هنگام از فراز ایران گذر می‌کند نمی‌تواند تصویر دقیقی از ترازمندی انرژی ارائه بدهد، به همین دلیل ماهواره آکوا که در ساعت ۱، ۳۰ شب و ۱۳، ۳۰ ظهر ایران را رصد می‌کند انتخاب شده است. دلیل اصلی این انتخاب بالا بودن ترازمندی انرژی در میانه روز و میانه شب است. از آنجاکه دوره آماری ترا بیشتر از آکوا است علی‌القاعدۀ می‌باید این ماهواره انتخاب می‌شد، اما داده‌های ماهواره آکوا به دلایل توصیف شده بیشتر مورد استفاده قرار می‌گیرد (وان^۳، ۲۰۱۳).

۲،۲ پیش‌پردازش داده‌ها

در سیستم تصویر سینوسی کره زمین به صورت کاشی‌های مربعی شکل تقسیم‌بندی شده است (شکل ۳). منطقه کویر درانجیر در دو کاشی با نام‌های H۲۲۷۰۵ و H۲۲۷۰۶ واقع شده است. از این‌رو برای بررسی روند دمای سطح کویر درانجیر، داده‌های دمای سطح این دو کاشی از وبگاه ناسا اخذ گردید. در درون کاشی‌های هر یک از فرآورده‌ها، فیلدهای گوناگونی وجود دارد. در گام دوم اطلاعات فیلد اول که نشان‌دهنده دمای روز هنگام سنجدنده مودیس-آکوا بود، انتخاب گردید و مبنای پردازش‌ها قرار گرفت. در گام سوم باتابع in polygon در نرم‌افزار متلب تنها داده‌هایی که درون حوضه آبریز درانجیر بود، انتخاب شدند. پس از آماده‌سازی داده‌های موردمطالعه، روند دمای سطح کویر درانجیر در مقیاس فصلی و سالانه انجام گرفت.



شکل ۳. چارچوب کاشی‌های ۱۲۰۰×۱۲۰۰ کیلومتری در سیستم تصویر سینوسی مودیس

منبع: <https://modis.gsfc.nasa.gov/>

¹ Terra

² Aqua

³ Wan

۲،۳ آزمون ناپارامتریک من- کندال

این آزمون توسط من^۱ (۱۹۴۵) ارائه و سپس توسط کندال^۲ (۱۹۴۸) توسعه یافت و بر پایه رتبه داده‌ها در بک سری زمانی استوار است. امتیاز این آزمون نسبت به سایر آزمون‌های تعیین روند، استفاده از رتبه داده‌ها در سری زمانی بدون در نظر داشتن مقدار متغیرها است که به دلیل وجود چنین خاصیتی، می‌توان از این آزمون برای داده‌های دارای چولگی نیز استفاده کرد و نیازی به تبعیت داده‌ها از توزیع نرمال نیست (عساکر، ۱۳۹۰). اثربذیری ناچیز این آزمون از مقادیر حدی که در برخی از سری‌های زمانی مشاهده می‌گردد نیز از دیگر مزایای آن به شمار می‌رود. این آزمون برای بررسی تصادفی بودن داده‌ها (عدم وجود روند) در مقابل وجود روند در سری‌های زمانی هیدرولوژیکی و هواشناسی مورداستفاده قرار می‌گیرد (زانگ و همکاران، ۲۰۰۰). مراحل محاسبه این آزمون به شرح زیر است:

- محاسبه اختلاف بین تک‌تک مشاهدات با یکدیگر و اعمال تابع علامت و استخراج پارامتر s :

$$S \cong \prod_{k=1}^{n-1} \prod_{j=k+1}^n \text{sgn} \frac{x_j - x_k}{x_j}, \quad (1)$$

n تعداد مشاهدات داده‌ها x_j و x_k ترتیب داده‌های متوالی کام و زام سری می‌باشند. در این رابطه $j \leq k$ است و $k \neq j$.

تابع علامت است و تابع علامت از روابط زیر به دست می‌آید:

$$\text{sgn} \frac{x_j - x_k}{x_j} \cong \begin{cases} 1 & \text{if } (x_j - x_k) \neq 0 \\ 0 & \text{if } (x_j - x_k) = 0 \\ -1 & \text{if } (x_j - x_k) < 0 \end{cases} \quad (2)$$

در واقع در این آزمون هر داده با تمامی داده‌های پس از خود مقایسه می‌شود. در این مرحله می‌توان بجای استفاده از مقادیر اصلی داده‌ها، از مرتبه داده‌ها در مجموعه موردنظر (سری زمانی) استفاده کرده و مرتبه‌ها را به همین روش مقایسه نمود. به این دلیل، این آزمون یک آزمون بر پایه مرتبه داده‌ها است.

- محاسبه واریانس به کمک روابط (۳) و (۴):

$$Var(s) \frac{n(n-1)(2n+5) - \sum_{t=1}^m t(t-1)(2t+5)}{18} \leq if n > 10 \quad (3)$$

$$Var(s) \frac{n(n-1)(2n+5)}{18} \leq f \quad if n \leq 10 \quad (4)$$

در این رابطه n تعداد مشاهدات و m معرف تعداد سری‌هایی است که در آن‌ها حداقل یک داده تکراری وجود دارد. t نیز بیانگر شمار داده‌های با ارزش یکسان است.

- آماره Z استانداردشده به کمک رابطه زیر محاسبه می‌شود:

¹ Mann

² Kendal

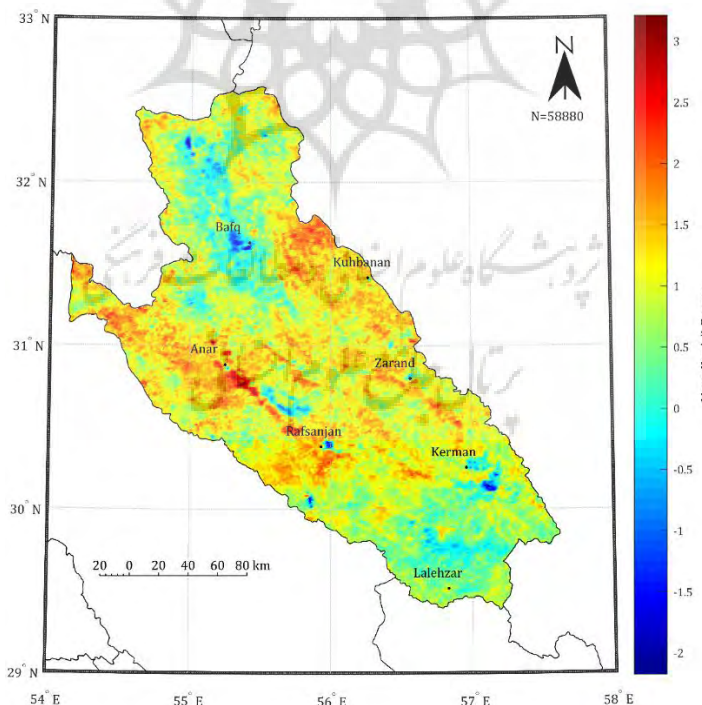
³ Zhang et al

$$z \equiv \begin{cases} \frac{s - 0}{\sqrt{\text{var}(s)}} & \text{if } s \neq 0 \\ 0 & \text{if } s = 0 \\ \frac{s - 1}{\sqrt{\text{var}(s)}} & \text{if } s @ \end{cases} \quad (5)$$

این آزمون، یک آزمون دوطرفه روند اگر رابطه $Z^{\alpha}/2 \leq Z \leq Z^{\alpha}$ در سطح اطمینان ۹۰٪ برقرار باشد، باید فرض H_0 (تصادفی بودن داده‌ها) را پذیرفت. در غیر این صورت باید فرض H_1 (وجود روند) را پذیرفت. اگر معنی‌داری در سطح $\alpha/2 = \alpha$ آزمون شد، فرض H_0 در صورتی رد می‌شود که $Z > Z_{0.95} = 1.96$ مقادیر مثبت Z روند صعودی و مقادیر منفی روند نزولی را در داده‌ها نشان می‌دهد (ویوکاناند^۱، ۲۰۰۷).

۳ نتایج و بحث

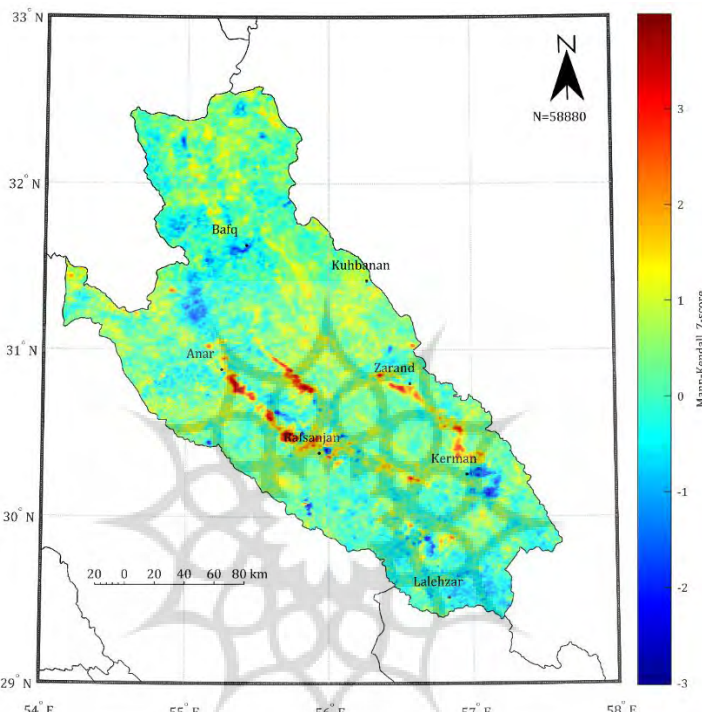
پدیده تغییر و نوسانات در دمای سطح زمین در سال‌های اخیر به‌طور چشمگیری بیشتر شده است. شدت و نشانه (مثبت/ منفی) این تغییرات نیز در مکان و زمان مختلف برای حوضه مورد مطالعه نیز صدق می‌کند. شکل ۴ روند دمای سطح کویر درانجیر در فصل زمستان طی دوره ۲۰۰۳ تا ۲۰۲۲ را نشان می‌دهد. رنگ قرمز نشانه روند مثبت و رنگ آبی نشانه روند منفی دمای سطح زمین در کویر درانجیر است. محاسبات نشان می‌دهد که در این فصل در بیش از ۹۵ درصد گستره کویر درانجیر دما افزایشی بوده و این مقدار نسبت به فصول دیگر بیشینه است. این افزایش روند به‌ویژه در نواحی غرب و شرق حوضه کویر درانجیر دیده می‌شود. در چاله بافق واقع در شمال حوضه و چاله‌های جنوب رفسنجان و کرمان نیز به دلیل آبگیر شدن آن، روند کاهشی دمای سطح را نشان می‌دهد که حدود ۴ درصد حوضه را در برمی‌گیرد.



شکل ۴. میزان روند دمای سطح کویر درانجیر در فصل زمستان در دوره ۲۰ ساله (۲۰۰۳-۲۰۲۲)

^۱ Vivekanandan

شکل ۵ روند دمای سطح کویر درانجیر در فصل بهار طی دوره ۲۰۲۲ تا ۲۰۰۳ را نشان می‌دهد. در این فصل از گستره روند مثبت کاسته شده و به ۶۹ درصد گستره رسیده است اما گستره روند منفی به شدت افزایش یافته و به حدود ۲۷ درصد گستره رسیده است. این روند منفی علاوه بر ارتفاعات لاله‌زار، در چاله‌های جنوب کرمان، جنوب رفسنجان و بافق نیز دیده می‌شود. به نظر می‌رسد افزایش روند دمای سطح زمین بین شهرستان‌های کرمان - زرند و رفسنجان - انار که به رنگ سرخ نشان داده شده، می‌تواند ناشی از خشک شدن رودخانه‌های فصلی شور سیریز و شور رفسنجان طی دو دهه اخیر باشد. این موضوع طبیعی به نظر می‌رسد چراکه با خشک شدن رودخانه و کاهش رطوبت کف رودخانه، دمای سطح آن به شدت افزایش می‌یابد.

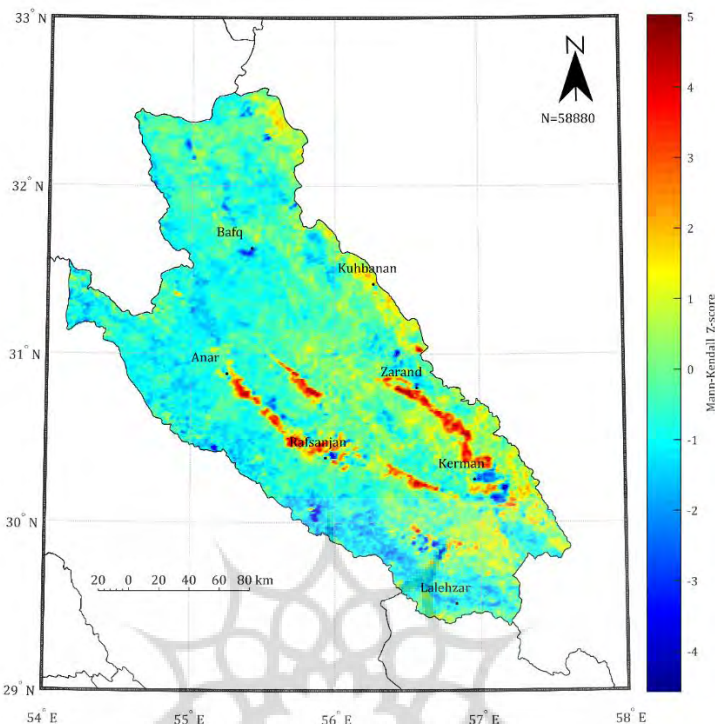


شکل ۵. میزان روند دمای سطح کویر درانجیر در فصل بهار در دوره ۲۰ ساله (۲۰۲۲-۲۰۰۳)

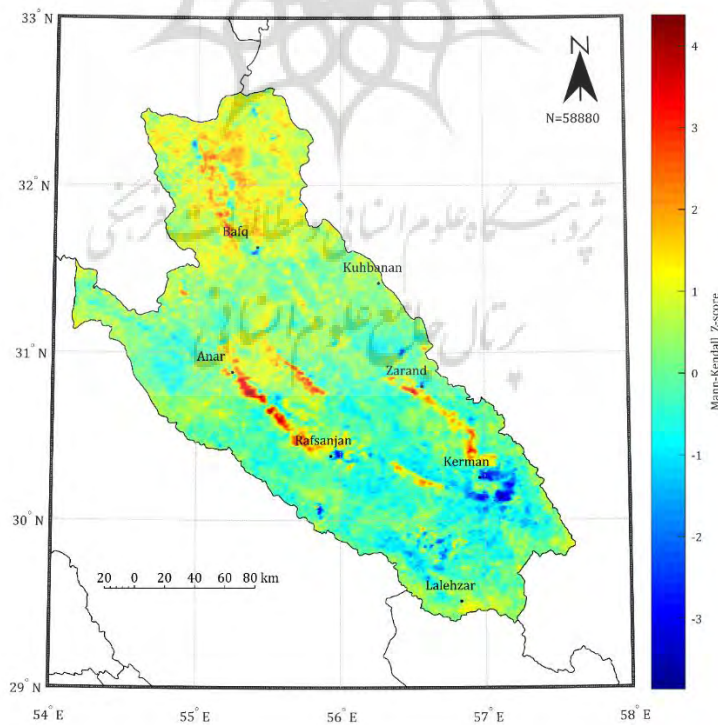
شکل ۶ روند دمای سطح کویر درانجیر در فصل تابستان طی دوره ۲۰۲۲ تا ۲۰۰۳ نشان می‌دهد که در این فصل درصد گستره روند مثبت و منفی بر عکس شده و حدود ۶۹ درصد گستره کویر روند دمای سطح زمین منفی و ۲۹ درصد گستره آن روند مثبت بوده است. این یافته در تضاد با انتظار اولیه مبنی بر افزایش دمای سطح در پی خشک شدن رودخانه‌ها است. بررسی‌های بیشتر نشان می‌دهد که عوامل متعددی از جمله تغییرات در الگوی بارندگی، پوشش ابر و آلbedo می‌توانند بر دمای سطح تأثیرگذار باشند. در حالی که خشک شدن رودخانه‌ها به طور محلی باعث افزایش دمای سطح شده است، عوامل دیگری ممکن است باعث کاهش دمای کلی سطح کویر شده باشند. این موضوع نشان می‌دهد که رابطه بین افزایش دما در حوضه موردنظر پیچیده‌تر از آنچه در ابتدا تصور می‌شد است.

شکل ۷ روند دمای سطح کویر درانجیر در فصل پاییز طی دوره ۲۰۲۲ تا ۲۰۰۳ را نشان می‌دهد. یافته‌ها نشان می‌دهد که طی فصل پاییز بیش از ۶۰ درصد گستره کویر درانجیر روند دمای سطح زمین مثبت و حدود ۳۶ درصد گستره آن روند منفی بوده است. در این فصل از سال گذشته از افزایش دمای بستر رودخانه‌ها که در فصل پیش بیان شد، دمای سطح چاله بافق نیز روند افزایشی داشته است. این موضوع بیان‌گر آن است که در فصل پاییز چاله بافق خشک‌تر شده و دمای آن افزایش یافته است. همچنین بررسی‌ها نشان می‌دهد که دریاچه‌های

جنوب کرمان و رفسنجان طی دو دهه اخیر آبگیرتر شده و روند دمایی منفی را نشان می‌دهند. در برخی از این مناطق دمای سطح ۳-۲ درجه سلسیوس کاهش یافته است.

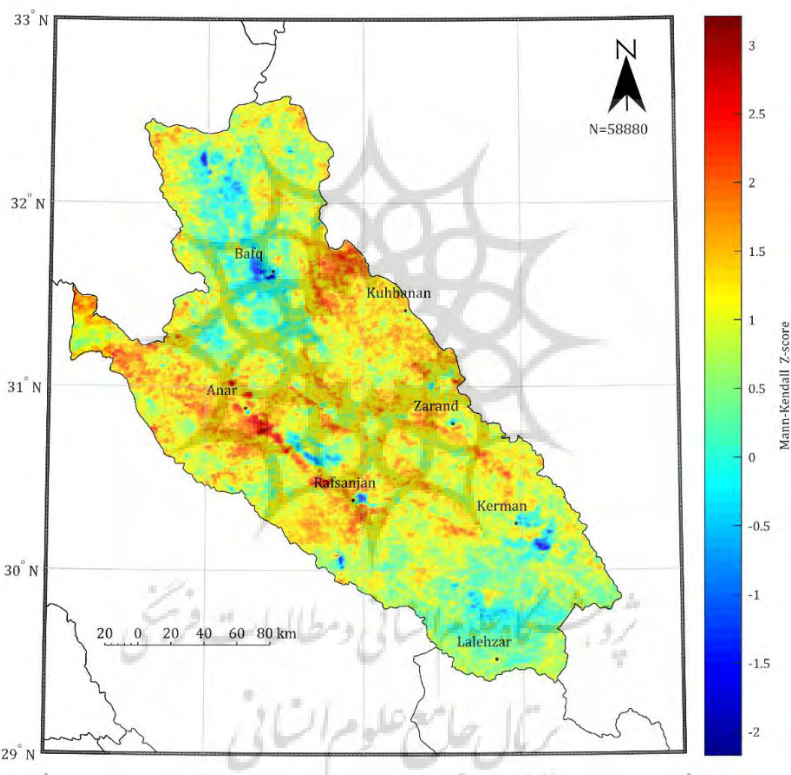


شکل ۶. میزان روند دمای سطح کویر درانجیر در فصل تابستان در دوره ۲۰ ساله (۲۰۰۳-۲۰۲۲)



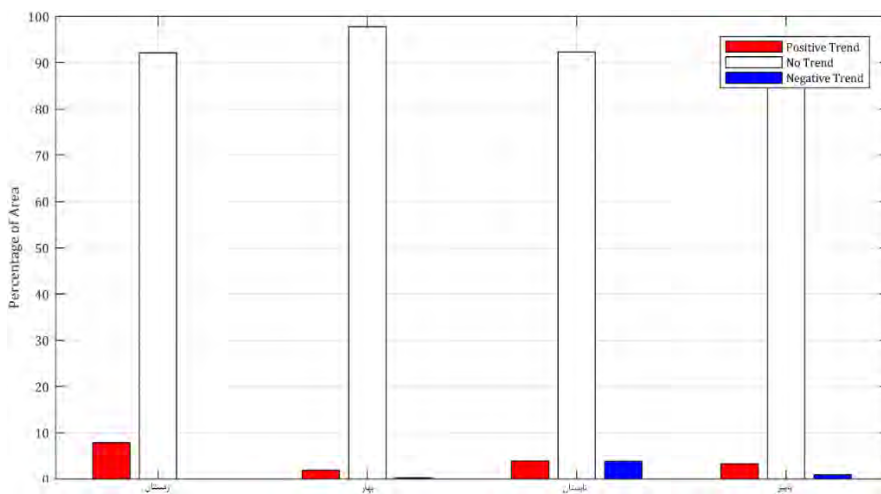
شکل ۷. میزان روند دمای سطح کویر درانجیر در فصل پاییز در دوره ۲۰ ساله (۲۰۰۳-۲۰۲۲)

شکل ۸ روند سالانه دمای سطح کویر درانجیر طی دوره ۲۰۰۳ تا ۲۰۲۲ را نشان می‌دهد. به طورکلی بررسی روند بلندمدت دمای سطح کویر درانجیر طی دو دهه اخیر گویای آن است که در بخش وسیعی از کویر درانجیر (حدود ۷۲ درصد) روند دمای سطح زمین مثبت (افزایشی) بوده است. این روند افزایشی دما بهویژه در بستر رودخانه شور سیریز و رودخانه شور رفسنجان بهوضوح دیده می‌شود. به نظر می‌رسد مقادیر افزایشی این نواحی به دلیل خشک شدن آن و درنتیجه کاهش شدید رطوبت سطحی در بلندمدت بوده باشد. همچنین کوههای لالهزار از جمله مناطقی هستند که در دو دهه اخیر روند مثبت دمای سطح را نشان داده‌اند. از آنجایی که این روند مثبت بیشتر در فصول سرد سال (پاییز و زمستان) اتفاق افتاده، یکی از دلایل اصلی آن می‌تواند کاهش پوشش برفی در دو دهه گذشته باشد (کیخسروی کیانی و مسعودیان، ۱۳۹۶). از طرف دیگر وجود سدهای احداث شده در جنوب کرمان، رفسنجان و چاله بافق و آبگیر شدن آن‌ها در سال‌های اخیر روند منفی (کاهشی) دمای سطح زمین در این نواحی را نشان می‌دهد. این نواحی حدود ۲۵ درصد گستره حوضه را پوشش داده است. مابقی سطح کویر درانجیر که حدود ۳ درصد گستره حوضه را شامل می‌شود، روندی را نشان نمی‌دهد.



شکل ۸. میزان روند سالانه دمای سطح کویر درانجیر در دوره ۲۰ ساله (۲۰۰۳-۲۰۲۲)

شکل ۹ درصد گستره روند دمای سطح کویر درانجیر در فصول مختلف با سطح اطمینان ۹۰ درصد را نشان می‌دهد. رنگ سرخ نشانه روند مثبت، رنگ سفید نشانه بدون روند و رنگ آبی نشانه روند منفی دمای سطح کویر درانجیر است. نتایج در سطح اطمینان ۹۰ درصد نشان داد که بیش از ۹۰ درصد از گستره ایران در تمامی فصول سال بدون روند است. علاوه بر این در تمامی فصول سال گستره روند مثبت بیشتر از روند منفی بوده است. این موضوع بهویژه در فصل زمستان آشکارتر بوده و بیانگر آن است که دمای سطح حوضه درانجیر در زمستان‌های اخیر نسبت به زمستان‌های گذشته افزایش یافته است. البته این افزایش دما تنها در ۷ درصد از گستره حوضه مشاهده می‌شود و بقیه مناطق حوضه (۹۳ درصد گستره) روندی را نشان نمی‌دهد.



شکل ۹. درصد گستره روند دمای سطح کویر درانجیر در فصول مختلف با سطح اطمینان ۹۰ درصد

۴ نتیجه‌گیری

در این نوشتار برای بررسی روند دمای سطح کویر درانجیر از داده‌های روزانه محصول MYD11A1 سنجنده مودیس- آکوا در دوره ۱۱/۱ تا ۳۰/۰۳/۲۰ با تفکیک مکانی ۱۰۰۰ متر بهره گرفته شد. پس از پردازش داده‌ها، روند بلندمدت فصلی و سالانه دمای سطح کویر درانجیر محاسبه گردید. نتایج روند در مقیاس بلندمدت فصلی نشان داد که در فصل زمستان بخش وسیعی از کویر درانجیر (حدود ۹۵ درصد گستره) روند دمای سطح زمین افزایش یافته است. به نظر می‌رسد افزایش دمای سطح در فصل زمستان می‌تواند به دلیل کاهش بارندگی، برف و پوشش گیاهی طی سال‌های اخیر باشد. در فصل تابستان شرایط متفاوت است. در این فصل حدود ۷۰ درصد گستره کویر درانجیر روند دمای سطح زمین منفی (کاهشی) و حدود ۳۰ درصد گستره آن روند مثبت (افزایشی) است. به نظر می‌رسد که روند مثبت در محور کرمان - زرند و رفسنجان - انار می‌تواند ناشی از خشک شدن رودخانه شور سیریز و رودخانه شور رفسنجان طی دو دهه اخیر باشد. این موضوع طبیعی به نظر می‌رسد چراکه با خشک شدن رودخانه و کاهش رطوبت کف رودخانه، دمای سطح آن بهشت افزایش یافته است. در فصل پاییز به دلیل خشکسالی‌های اخیر علاوه بر محورهای ذکر شده، چاله بافق نیز روند افزایشی دمای سطح را نشان می‌دهد. پژوهش‌های انجام‌شده بر روی دمای سطح ایران زمین همانگ با این ایده است (مرادی و همکاران، ۱۳۹۵؛ کربلایی و همکاران، ۱۴۰۰؛ احمدی و همکاران، ۱۴۰۰). نتایج روند در مقیاس بلندمدت سالانه نشان داد که طی دو دهه اخیر روند دمای سطح زمین در ۷۵ درصد سطح حوضه کویر درانجیر افزایشی بوده است. به دلیل خشک شدن رودخانه‌ها و درنتیجه کاهش رطوبت سطح آن‌ها، بخشی از این روند افزایشی در بستر رودخانه شور سیریز و رودخانه شور رفسنجان دیده می‌شود. بخشی دیگر از این روند افزایشی در ارتفاعات لاله‌زار دیده می‌شود. یکی از دلایل اصلی روند افزایشی دمای سطح این منطقه می‌تواند ناشی از کاهش پوشش برفی طی دو دهه گذشته باشد (کیخسروی‌کیانی و مسعودیان، ۱۳۹۶؛ کفایت مطلق و همکاران، ۲۰۲۴). بررسی‌های بیشتر نشان داد که وجود سدهای احداث شده در جنوب کرمان، رفسنجان و چاله بافق و آبگیر شدن آن‌ها در سال‌های اخیر عامل روند منفی (کاهشی) دمای سطح زمین در این نواحی است (عزیزی و همکاران، ۱۳۹۶؛ کیخسروی‌کیانی و مسعودیان، ۱۴۰۰).

¹ Kefayat Motlagh et al

References

- 0 Ahmadi, M., & Ahmadi, H. (2018). Monitoring of the night time land surface temperature in Iran based on output of the MODIS. *Geographical Research*, 33(1), 174-190. [In Persian] doi: [10.29252/geores.33.1.174](https://doi.org/10.29252/geores.33.1.174)
- 0 Ahmadi, M., Mirzaei, Z. S., & Dadashiroudbari, A. (2021). Investigation of seasonal distribution and abnormal trend of day and night surface temperature in Iran using MODIS sensor data. *Physical Geography Research*, 53(3), 351-364. [In Persian] doi: [10.22059/jphgr.2021.323144.1007615](https://doi.org/10.22059/jphgr.2021.323144.1007615)
- 0 Abad, B., Raispour, K., & Moradi, M. (2021). Satellite Monitoring of Daytime Land Surface Temperature (LST) of Jazmourian Catchment Using MODIS Sensor Products. *Physical Geography Quarterly*, 14(52), 63-81. [In Persian] <https://sanad.iau.ir/Journal/jopg/Article/982791>
- 0 Moradi, M., Salahi, B., & Masoodian, S. A. (2016). Analysis of land surface temperature gradient of Iran using MODIS Terra and Aqua data. *Physical Geography Research Quarterly*, 48(4), 517-532. [In Persian] doi: [10.22059/jphgr.2016.60823](https://doi.org/10.22059/jphgr.2016.60823)
- 0 Keikhsravi Kiany, M., & Masoodian, S. A. (2021). Climatology of snow cover accumulation and melting in Iran using MODIS data. *Physical Geography Research*, 53(1), 109-121. [In Persian] doi: [10.22059/jphgr.2021.290500.1007446](https://doi.org/10.22059/jphgr.2021.290500.1007446)
- 0 Azizi, G., Rahimi, M., Mohammadi, H., & Khoshakhlagh, F. (2017). Spatio-temporal variations of snow cover in the southern slope of central Alborz. *Physical Geography Research*, 49(3), 381-393. [In Persian] doi: [10.22059/jphgr.2017.217393.1006943](https://doi.org/10.22059/jphgr.2017.217393.1006943)
- 0 Z. Ghezelbash, M. Momeni, (2012). Evaluation of LST and Urban Heat Island changes using MODIS LST data in some Iranian cities, *Journal of Geomatics Science and Technology*, 2(2), 29. [In Persian] magiran.com/p1116369
- 0 Keikhsravi, M., & Masoodian, A. (2017). Trend analysis of snow-covered days in Iran based on remote sensing data. *Geography and Environmental Planning*, 28(1), 49-60. [In Persian] doi: [20.1001.1.20085362.1396.28.1.5.8](https://doi.org/10.1001.1.20085362.1396.28.1.5.8)
- 0 Keikhsravi Kinay, M., & Masoudian, S. A. (2017). Exploring the Role of Land Surface Temperature on Distribution of Snow Coverage in Iran by Remote Sensing Data. *Geography and Development*, 15(49), 189-204. [In Persian] doi: [10.22111/gdij.2017.3459](https://doi.org/10.22111/gdij.2017.3459)
- 0 Mazidi, A., Rosta, I., & Mohammadi Ravari, F. (2023). Temporal Changes of Urban Heat Islands And its Relationship with Air Pollution by Remote Sensing in Kerman City. *Climate Change Research*, 4(14), 103-120. [In Persian] doi: [10.30488/CCR.2023.404996.1151](https://doi.org/10.30488/CCR.2023.404996.1151)
- 0 Moradi, M., Salahi, B., & Masoodian, S. A. (2016). Land surface temperature zoning of Iran with MODIS data. *Journal of Natural Environmental Hazards*, 5(7), 101-116. [In Persian] doi: [10.22111/jneh.2016.2657](https://doi.org/10.22111/jneh.2016.2657)

- 0 Mansourmoghaddam, M., Naghipur, N., Rezaei, M. and Rousta, I. (2024). Quantifying the Zayandeh Rud River drying effects on land surface temperature and adjacent vegetation cover changes over the past 33 years using satellite images. *Climate Change Research*, 5(18), 1-30. [In Persian] doi: [10.30488/CCR.2024.425449.1175](https://doi.org/10.30488/CCR.2024.425449.1175)
- 0 Karbalaei, A. R., Beygam Hejazizadeh, Z., Masoodian, S. A. and Keikhosravi kiany, M. (2021). Trend Analysis of Land surface temperature using Remote Sensing Data in Iran. *Journal of Geography and Environmental Hazards*, 10(2), 93-109. [In Persian] doi: [10.22067/geoeh.2021.69462.1035](https://doi.org/10.22067/geoeh.2021.69462.1035)
- 0 Asakereh, H. (2011). Fundamentals of statistical climatology. Zanjan University of Publishers. [In Persian]
- 0 Balew, A., & Korme, T. (2020). Monitoring land surface temperature in Bahir Dar city and its surrounding using Landsat images. *The Egyptian Journal of Remote Sensing and Space Science*, 23(3), 371-386.
- 0 Eleftheriou, D., Kiachidis, K., Kalmintzis, G., Kalea, A., Bantasis, C., Koumadoraki, P., ... & Gemitzi, A. (2018). Determination of annual and seasonal daytime and nighttime trends of MODIS LST over Greece-climate change implications. *Science of the total environment*, 616, 937-947.
- 0 Espinoza-Molina, J., Acosta-Caipa, K., Chambe-Vega, E., Huayna, G., Pino-Vargas, E., & Abad, J. (2022). Spatiotemporal analysis of urban heat islands in relation to urban development, in the vicinity of the atacama desert. *Climate*, 10(6), 87. <https://search.earthdata.nasa.gov/search/>.
- 0 Kefayat Motlagh, O. R., Khosravi, M., & Masoodian, S. A. (2024). The effects of snow on albedo in the mountains of Iran using MODIS data. *Theoretical and applied climatology*, 155(2), 1103-1112.
- 0 Kendall, M. G. (1975). Rank Correlation Measures, 202 pp. London: Charles Griffin, 747, 251-266.
- 0 Khorchani, M., Vicente-Serrano, S. M., Azorin-Molina, C., Garcia, M., Martin-Hernandez, N., Peña-Gallardo, M., ... & Domínguez-Castro, F. (2018). Trends in LST over the peninsular Spain as derived from the AVHRR imagery data. *Global and Planetary Change*, 166, 75-93.
- 0 Mann, H. B. (1945). Nonparametric tests against trend. *Econometrica: Journal of the econometric society*, 245-259.
- 0 Pal, S., & Ziaul, S. K. (2017). Detection of land use and land cover change and land surface temperature in English Bazar urban centre. *The Egyptian Journal of Remote Sensing and Space Science*, 20(1), 125-145.
- 0 Pandey, P. C., Chauhan, A., & Maurya, N. K. (2022). Evaluation of earth observation datasets for LST trends over India and its implication in global warming. *Ecological Informatics*, 72, 101843.

- 0 Qin, J., Yang, K., Liang, S., & Guo, X. (2009). The altitudinal dependence of recent rapid warming over the Tibetan Plateau. *Climatic Change*, 97(1), 321-327.
- 0 Shakiba, F., Rousta, I., Mazidi, A., & Olafsson, H. (2024). Spatial and temporal variation of day and night time land surface temperature and its drivers over Iran's watersheds using remote sensing. *Earth Science Informatics*, 1-21.
- 0 Vivekanandan, N. (2007, July). Analysis of trend in rainfall using non parametric statistical methods. In *AIP Conference Proceedings* (Vol. 923, No. 1, pp. 101-113). American Institute of Physics.
- 0 Wan, Z. (2013). Collection-5 MODIS land surface temperature products users' guide. ICESS, University of California, Santa Barbara, 400.
- 0 Wen, J., Su, Z., & Ma, Y. (2003). Determination of land surface temperature and soil moisture from Tropical Rainfall Measuring Mission/Microwave Imager remote sensing data. *Journal of Geophysical Research: Atmospheres*, 108(D2), ACL-2.
- 0 Xi, M., Zhang, W., Li, W., Liu, H., & Zheng, H. (2023). Distinguishing dominant drivers on LST dynamics in the Qinling-Daba Mountains in Central China from 2000 to 2020. *Remote Sensing*, 15(4), 878.
- 0 Zhang, X., Vincent, L. A., Hogg, W. D., & Niitsoo, A. (2000). Temperature and precipitation trends in Canada during the 20th century. *Atmosphere-ocean*, 38(3), 395-429.
- 0 Zhong, L., Su, Z., Ma, Y., Salama, M. S., & Sobrino, J. A. (2011). Accelerated changes of environmental conditions on the Tibetan Plateau caused by climate change. *Journal of Climate*, 24(24), 6540-6550.
- 0 Zullo, F., Fazio, G., Romano, B., Marucci, A., & Fiorini, L. (2019). Effects of urban growth spatial pattern (UGSP) on the land surface temperature (LST): A study in the Po Valley (Italy). *Science of the Total Environment*, 650, 1740-1751.

پژوهشگاه علوم انسانی و مطالعات فرهنگی
پرستاد جامع علوم انسانی